

УДК 523.64

**Е. С. Сибирякова, А. В. Шульга, В. С. Вовк,  
Н. А. Куличенко, Е. С. Козырев**

Научно-исследовательский институт «Николаевская астрономическая обсерватория»  
ул. Обсерваторная 1, Николаев, 54030  
[evg\\_sibir@mail.ru](mailto:evg_sibir@mail.ru)

## **Позиционные наблюдения комет комбинированным методом**

*Обсуждаются позиционные наблюдения комет с использованием комбинированного метода наблюдений и режима работы ПЗС-камеры time delay and integration. Приведен анализ результатов наблюдений за трехлетний период и точностные характеристики полученных положений.*

*ПОЗИЦІЙНІ СПОСТЕРЕЖЕННЯ КОМЕТ КОМБІНОВАНИМ МЕТОДОМ, Сибирякова Є. С., Шульга О. В., Вовк В. С., Куліченко М. О., Козирев Є. С. — Обговорюються позиційні спостереження комет з використанням комбінованого методу спостережень та режиму роботи ПЗЗ-камери time delay and integration. Наведено аналіз результатів спостережень за трьохрічний період та точності отриманих положень.*

*POSITIONAL OBSERVATION OF COMET BY USING OF COMBINED METHOD, by Sybiryakova E. S., Shulga O. V., Vovk V. S., Kulichenko M. O., Kozryev E. S. — The positional observations of comets by using of combined method and time delay and integration mode are represented in the article. The analysis of the results of observations and precision of obtained positions are given.*

### **ВВЕДЕНИЕ**

Несмотря на относительно небольшое количество комет, сближающихся с Землей, есть вероятность их столкновения с Землей [2]. Для вычисления вероятности столкновения кометы с Землей необходимо более точное определение орбит комет. Одним из факторов, влияющих на точность вычисления элементов орбит комет, являются негра-

витационные эффекты. Негравитационные эффекты проявляются в изменении элементов орбит, в первую очередь среднего движения [<http://www.ipa.nw.ru/PAGE/DEPFUND/LSBSS/AKO/ch51.html#1>].

Для определения элементов орбит комет необходимы высокоточные позиционные наблюдения.

В Научно-исследовательском институте «Николаевская астрономическая обсерватория» (НИИ НАО) проводятся наблюдения в моменты сближения комет с Землей. Для наблюдений быстродвижущихся космических объектов в НИИ НАО разработан комбинированный метод. Метод успешно применяется для наблюдений астероидов, сближающихся с Землей, и искусственных космических объектов [4, 5]. С 2011 г. начато применение комбинированного метода для наблюдения комет.

## НАБЛЮДЕНИЯ КОМЕТ

Для наблюдений отбирались кометы, сближающиеся с Землей на расстояния менее 1.3 а. е., новые и короткопериодические кометы. Наблюдения проводились с использованием эфемерид Лаборатории реактивного движения США.

Наблюдения проводились на телескопе КТ-50 ( $D = 50$  см,  $F = 3$  м). Телескоп оснащен полнокадровой ПЗС-камерой Apogee Alta U9000 (3k 3k), размер пикселя 12 12 мкм (0.83 0.83 ). Стеклянный светофильтр ОС-14 в сочетании с матрицей KAF-09000 формирует фотометрическую полосу, близкую к полосе  $R$  стандартной фотометрической системы Бесселя. Наблюдения проводились с использованием комбинированного метода наблюдений и режима работы time delay and integration ПЗС-камеры (TDI) [1]. Использование режима TDI позволяет получать точечные изображения комет независимо от скорости их движения (скорость движения комет компенсируется за счет скорости переноса заряда по ПЗС-матрице). В процессе наблюдений формируется 10—20 серий наблюдений одной кометы. Серия кадров включает в себя два кадра с опорными звездами и кадр с объектом. Наблюдение серии кадров проводится на неподвижном телескопе, процесс наблюдений включает в себя следующие этапы:

- установка телескопа в точку встречи по заданным эфемеридам;
- поворот ПЗС-матрицы так, чтобы регистр был перпендикулярен к направлению движения кометы;
- формирование изображения опорных звезд с экспозицией 10 с;
- формирование изображения объекта, экспозиция устанавливается в зависимости от звездной величины;
- формирование изображения опорных звезд с экспозицией 10 с.

Таким образом, при накоплении изображений опорных звезд и кометы угол поворота ПЗС-камеры не изменяется. Наблюдения опорных звезд проводятся с малой экспозицией, чтобы избежать растягивания изображений звезд.

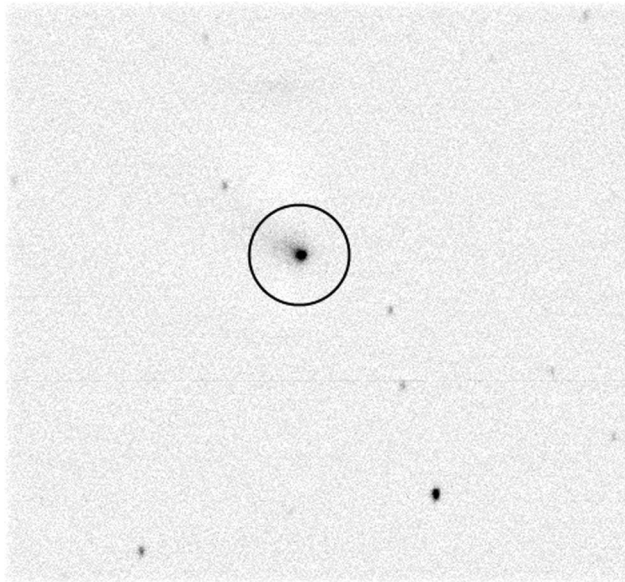


Рис. 1. Пример изображения кометы, сближающейся с Землей

Применение комбинированного метода наблюдений позволяет получать точечные изображения комет и звезд путем разделения процессов накопления изображений звезд и комет. На рис. 1 приведено изображение кометы 168P, которая на момент наблюдений находилась на расстоянии 0.43 а. е., видимое движение кометы на момент наблюдений составляло 3.24° /мин.

Условия, при которых проводились наблюдения комет, приведены в табл. 1.

**Таблица 1. Условия наблюдений комет**

Имя	Звездная величина	Расстояние до Земли, а. е.	Расстояние до Солнца, а. е.
29P/Schwassmann-Wachmann	17.4 <sup>m</sup>	5.2	6.2
48P /Johnson	14.6	1.3	2.5
49P/Arend-Rigaux	17.3	1.4	2.2
63P/Wild	12.6	1.1	3.8
78P /Gehrels	12.1	1.3	2.1
98P/Takamizawa	14.7	0.9	4.1
168P/Hergenrother	13.7	0.4	2.4
175P/Hergenrother	17.0	1.13	3.4
213P/Van Ness	14.0	1.2	2.8
246P/NEAT	15.1	2.3	3.3
260P/McNaught	14.1	0.6	2.3
274P/Tombaugh-Tenagra	17.8	1.8	3.3
P/2012 NJ (La Sagra)	16.5	1.8	1.7
P/2012 B1 (PANSTARRS)	16.8	3.0	4.6
P/2013 J2 (McNaught)	16.0	1.3	4.7
C/2006 S3 (LONEOS)	15.3	4.7	5.1

Окончание табл. 1

Имя	Звездная величина	Расстояние до Земли, а. е.	Расстояние до Солнца, а. е.
C/2009 P1 (Garradd)	10.7	7.4	2.0
C/2009 Y1 (Catalina)	15.5	2.3	4.9
C/2010 G2 (Hill)	15.4	1.5	3.1
C/2010 S1 (LINEAR)	16.2	7.2	6.6
C/2011 F1 (LINEAR)	14.9	2.9	3.8
C/2011 J2 (LINEAR)	15.3	3.54	6.5
C/2011 UF305 (LINEAR)	14.8	2.5	2.5
C/2012 A2 (LINEAR)	17.8	3.7	4.1
C/2012 L2 (LINEAR)	13.8	1.8	5.0
C/2012 S1 (ISON)	15.8	4.0	8.0
C/2013 G6 (Lemmon)	17.2	1.2	5.5

## ОБРАБОТКА НАБЛЮДЕНИЙ

Обработка наблюдений включает в себя следующие этапы:

— первичная обработка изображений;

— вычисление прямоугольных координат комет в системе ПЗС-матрицы, определение прямоугольных координат звезд в системе ПЗС-матрицы, отождествление опорных звезд с каталогом и расчет редукционных постоянных изображений с опорными звездами;

— вычисление экваториальных координат наблюдаемого объекта с использованием модифицированной модели редукции [1].

Учет неоднородности чувствительности ПЗС-матрицы проводился путем постолбцовового и построчного выравнивания фона изображения. При постолбцовом выравнивании изображения каждый столбец разбивается на несколько участков. В отдельно взятом участке столбца по каждому пиксели строится система уравнений вида

$$N(x, y) \quad N_0(x, y) \quad C(x),$$

где  $N_0(x, y)$  — исходное значение сигнала,  $C(x)$  — среднее значение амплитуды сигнала в столбце,  $N(x, y)$  — значение сигнала после коррекции. Среднее значение амплитуды сигнала в столбце вычисляется по формуле

$$C(x) = \frac{N_0(x, y)}{ns},$$

где  $ns$  — количество строк изображения. Процесс вычисления итерационный, и продолжается до тех пор, пока есть пиксели с амплитудой, удовлетворяющей условию  $|N(x, y) - C(x)| > 3\sigma(x)$ , где

$$\sigma(x) = \sqrt{\frac{1}{ns} \sum_y [N_0(x, y) - C(x)]^2 / (ns - 1)}.$$

Прямоугольные координаты комет в системе ПЗС-матрицы вычисляются как средневзвешенное значение выделенной группы пикселей:

$$X_0 = \frac{\sum_{i=il}^{i2} \sum_{j=j1}^{j2} X_{ij} I_{ij}}{\sum_{i=il}^{i2} \sum_{j=j1}^{j2} I_{ij}}, \quad Y_0 = \frac{\sum_{i=il}^{i2} \sum_{j=j1}^{j2} Y_{ij} I_{ij}}{\sum_{i=il}^{i2} \sum_{j=j1}^{j2} I_{ij}},$$

где  $I_{ij}$  — интенсивность пикселя,  $X_{ij}, Y_{ij}$  — прямоугольные координаты в системе ПЗС-матрицы.

Определение прямоугольных координат опорных звезд в системе ПЗС-матрицы, а также отождествление опорных звезд с каталогом и расчет редукционных постоянных проводились программой Astrometrica с использованием каталога UCAC3. Для перехода от прямоугольных координат звезд в системе ПЗС-матрицы к экваториальным вычислялись идеальные координаты звезд.

Учитывая то, что при использовании комбинированного метода наблюдений изображения опорных звезд и комет получаются в разные моменты времени, вычисление экваториальных координат комет включает два этапа:

- интерполяция редукционных постоянных и экваториальных координат центра изображения на время наблюдения объекта;
- вычисление экваториальных координат наблюдаемого объекта.

Для вычисления редукционных постоянных и экваториальных координат центра кадра изображения кометы, проводится линейная регрессия редукционных постоянных кадров с изображением опорных звезд на момент времени наблюдения кометы.

$$\begin{aligned} ij & \quad a_j \quad b_j t_i, \\ ij & \quad c_j \quad d_j t_i, \end{aligned} \tag{1}$$

где  $t_i$  — время наблюдения  $i$ -го кадра опорных звезд на средину экспозиции,  $a_j, b_j$  —  $j$ -я редукционная постоянная для  $i$ -го кадра по прямому восхождению,  $c_j, d_j$  —  $j$ -я редукционная постоянная для  $i$ -го кадра по склонению,  $a_j, b_j, c_j, d_j$  — коэффициенты редукции ( $j$  — номер постоянной). Система уравнений решается методом наименьших квадратов.

С использованием коэффициентов редукции  $a_j, b_j, c_j, d_j$  и времени записи кадра с изображением кометы по формуле (1) вычисляются редукционные постоянные кадра.

Таким же образом вычисляются экваториальные координаты центра кадров. Далее с использованием значений редукционных постоянных кадра с изображением кометы и прямоугольных координат кометы определяются ее идеальные и сферические координаты.

## АНАЛИЗ РЕЗУЛЬТАТОВ НАБЛЮДЕНИЙ

Проведено сравнение положений, полученных из наблюдений, с эфемеридой Лаборатории реактивного движения США [3]. Результаты сравнения представлены в табл. 2. Сравнение проводилось 15 апреля 2015 г.

За 2011—2013 гг. получен каталог 549 положений 27 комет, все положения были отправлены в Международный центр малых планет. Средняя квадратичная погрешность наблюдений по результатам

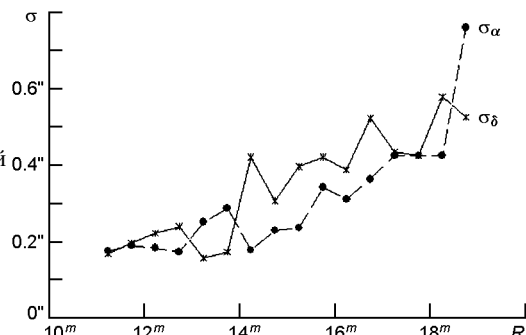
**Таблица 2. Точностные характеристики полученных положений комет**

Имя	Дата	Экспозиция	К-во кадров	(O-C)	(O-C)		
29P/Schwassmann-Wachmann	2012-03-26	90	13	-0.29	-0.22	0.26	0.38
48P /Johnson	2011-08-08	10	8	0.63	-0.06	0.20	0.76
49P/Arend-Rigaux	2012-03-20	90	3	0.69	0.33	0.21	0.02
	2012-03-27	90	5	0.45	0.36	0.11	0.22
	2012-04-10	90	6	0.64	0.45	0.26	0.16
63P/Wild	2013-02-26	60	20	0.11	-0.18	0.09	0.10
	2013-02-27	60	15	0.22	-0.17	0.11	0.14
78P /Gehrels	2011-08-05	10	15	-0.28	-0.01	0.28	0.31
	2011-08-30	10	15	-0.35	-0.12	0.24	0.25
	2011-09-19	10	12	-0.04	-0.27	0.14	0.10
	2011-10-26	90	10	0.16	0.21	0.24	0.17
	2011-10-29	90	10	0.00	0.14	0.12	0.10
	2011-11-03	90	10	-0.10	0.23	0.19	0.12
	2011-11-18	90	9	-0.13	0.31	0.12	0.12
	2011-12-18	30	10	-0.46	-0.17	0.16	0.14
98P/Takamizawa	2013-07-25	120	6	-0.09	0.10	0.36	0.51
168P/Hergenrother	2012-09-13	120	8	1.36	0.13	0.07	0.25
175P/Hergenrother	2013-02-27	120	30	0.15	0.36	0.16	0.22
213P/Van Ness	2011-08-30	10	25	0.11	0.11	0.35	0.36
246P/NEAT	2012-03-21	60	7	0.48	0.23	0.18	0.19
	2012-03-26	90	12	0.32	0.15	0.15	0.14
	2012-04-10	60	11	0.43	0.06	0.20	0.19
	2012-04-12	60	4	0.61	0.0	0.13	0.40
260P/McNaught	2012-09-14	90	9	0.48	0.02	0.09	0.08
	2012-10-10	60	10	0.04	-0.02	0.04	0.06
274P/Tombaugh-Tenagra	2013-02-27	120	6	-0.54	0.45	0.30	0.32
P/2012 NJ (La Sagra)	2012-09-10	120	5	0.13	0.32	0.17	0.05
	2012-09-13	120	4	-0.03	0.04	0.03	0.08
P/2012 B1 (PANSTARRS)	2013-02-28	90	9	0.51	0.15	0.33	0.75
P/2013 J2 (McNaught)	2013-07-10	90	12	0.05	0.14	0.16	0.12
C/2006 S3 (LONEOS)	2012-04-11	40	9	0.67	0.69	0.41	0.19
C/2009 P1 (Garradd)	2011-08-04	10	14	0.13	0.10	0.15	0.19
	2011-08-30	10	15	0.30	0.16	0.05	0.04
	2011-09-14	10	12	0.17	0.25	0.09	0.07
	2011-11-03	90	9	0.06	0.12	0.08	0.06
	2012-03-26	30	14	-0.04	-0.18	0.05	0.08

Окончание табл. 1

Имя	Дата	Экспо-зиция	К-во кадров	(O-C)	(O-C)		
C/2009 Y1 (Catalina)	2011-08-08	10	9	0.11	0	0.23	0.43
C/2010 G2 (Hill)	2011-11-18	90	9	-0.09	-0.13	0.14	0.06
	2011-11-28	30	9	-0.34	-0.02	0.07	0.12
C/2010 S1 (LINEAR)	2011-12-18	90	4	-0.34	0.07	0.04	0.09
	2012-04-11	60	4	0.09	0.07	0.17	0.20
C/2011 F1 (LINEAR)	2012-03-21	40	12	0.50	-0.19	0.21	0.19
	2012-03-27	40	6	0.54	-0.22	0.09	0.06
C/2011 J2 (LINEAR)	2013-02-27	90	14	0.22	-0.21	0.15	0.20
C/2011 UF305 (LINEAR)	2012-03-21	60	36	-0.21	-0.13	0.28	0.21
	2012-04-11	90	4	-0.17	-0.21	0.07	0.01
	2013-02-27	90	10	-0.26	0.08	0.31	0.37
C/2012 A2 (LINEAR)	2012-04-11	90	6	0.22	0.05	0.15	0.27
C/2012 L2 (LINEAR)	2013-02-27	60	10	-0.83	-0.05	0.17	0.26
C/2012 S1 (ISON)	2012-02-27	90	15	-0.77	0.33	0.18	0.19
C/2013 G6 (Lemmon)	2013-05-08	120	9	0.28	-0.31	0.43	0.51
Всего			549				

Рис. 2. Зависимость от звездной величины



сравнения с эфемеридой Лаборатории реактивного движения США находится в пределах 0.04—0.51 для комет, звездные величины которых попадают в интервал от 10.7 до 17.8<sup>m</sup>. Зависимость от звездной величины представлена на рис. 2.

Повышенную невязку в прямом восхождении для кометы 168Р можно объяснить недостаточной точностью вычисления элементов орбит, использованных для расчета эфемерид. Так, например, для кометы 78Р сравнение с эфемеридой Лаборатории реактивного движения США проводилось дважды: сразу после обработки наблюдений в 2011 г. и в 2015 г. Для примера на рис. 3 приведены результаты сравнения на 4 ноября 2011 г. (для расчета эфемерид использовались элементы орбит с эпохой 9 марта 2006 г., 2066 положений) и 15 апреля 2015 г. (для расчета эфемерид использовались элементы орбит с эпохой 24 апреля 2014 г., 5476 положений).

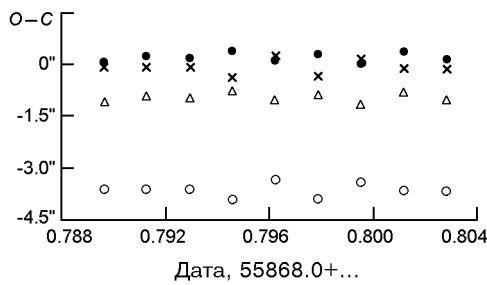


Рис. 3. Невязки координат кометы 78P: кружки и треугольники — соответственно  $(O - C)$  и  $(O - C)$  для эпохи элементов орбит 9 марта 2006 г., косые крестики и точки —  $(O - C)$  и  $(O - C)$  для эпохи 24 апреля 2014 г.

Как видно из рис. 3, использование обновленных элементов орбит для вычисления эфемерид привело к существенному уменьшению невязки наблюдений по прямому восхождению.

## ВЫВОДЫ

Для наблюдений комет апробировано применение комбинированного метода наблюдений, что позволило получать точечные изображения комет, сближающихся с Землей. Вычисление экваториальных координат комет проводилось с использованием модифицированного метода редукции.

Из наблюдений получен каталог 549 положений 27 комет. Средняя квадратичная погрешность наблюдений по результатам сравнения с эфемеридой Лаборатории реактивного движения США находится в пределах 0.04—0.51 для комет, звездные величины которых попадают в интервал от 10.7 до 17.8<sup>m</sup>.

1. Козырев Е. С., Сибирякова Е. С., Шульга А. В. Исследование точности астрометрической редукции при использовании комбинированного метода наблюдений // Космічна наука і технологія.—2010.—**16**, № 5.—С. 71—76.
2. Fernandez J. A. Comets: Nature, dynamics, origin, and their cosmogonical relevance.—Springer, 2006.—383 p.
3. Giorgini J. D., Yeomans D. K., Camberlin A. B., et al. JPL's online Solar system data service // Bull. Amer. Astron. Soc.—1996.—**28**.—P. 1158.
4. Kara I. V., Kozhyryev Y. S., Sybiryakova Y. S., et al. NAO catalog of geocentric state vectors of geosynchronous space objects // Bull. Crim. Astrophys. Observatory.—2011.—**107**.—P. 98—102.
5. Sybiryakova Ye. S., Kozhyryev Ye. S., Shulga A. V. The results of positional observations of Near Earth asteroids using the combined observation method // Bull. Crim. Astrophys. Observatory.—2013.—**109**.—P. 66—70.

Стаття надійшла до редакції 08.05.15